

ИЗУЧЕНИЕ ИНТЕРМЕТАЛЛИЧЕСКИХ СОЕДИНЕНИЙ ГАЛЛИЯ
С ЗОЛОТОМ, КОБАЛЬТОМ И НИКЕЛЕМ
МЕТОДОМ АМАЛЬГАМНОЙ ПОЛЯРОГРАФИИ С НАКОПЛЕНИЕМ

О. С. СТЕПАНОВА

(Представлена научно-методическим семинаром химико-технологического факультета)

Ранее [1] была показана возможность изучения состава интерметаллических соединений галлия и германия с медью, а также кадмия с золотом методом амальгамной полярографии с накоплением. Приемы определения состава интерметаллических соединений методом амальгамной полярографии с накоплением изложены в работах [2, 3].

Известно, что галлий дает интерметаллические соединения с золотом, кобальтом и никелем состава $(Ga_4Au_5)Hg_x$, $(Ga_7Co_{10})Hg_x$, $(Ga_7Ni_{10})Hg_x$ [5] и $GaAu$, $GaCo$, $GaNi$ [4]. Представляет интерес изучить интерметаллические соединения галлия с золотом, кобальтом и никелем методом амальгамной полярографии с накоплением подтвердить их состав. О преимуществе этого метода перед потенциометрическим и др. сказано в работе [1].

По методу, изложенному в работе [2], определение состава интерметаллического соединения производится из соотношения концентраций элементов, при которых анодные зубцы последних полностью исчезают. Определение состава интерметаллического соединения AB_n по методу, предложенному А. Г. Стромбергом и В. Е. Городовых [3], производится по формуле

$$\frac{n+1}{n} = \lg \frac{x''_m}{x'_m} \left| \lg \frac{c'_1}{c''_1}, \right. \quad (1)$$

где n — число атомов добавляемого элемента в интерметаллическом соединении (Au , Co , Ni); c'_1 , c''_1 — концентрации ионов металла в растворе (Ga) для двух серий опытов. Для определения значения $\lg \frac{x''_m}{x'_m}$ строится график для двух серий опытов в координатах $\lg y - \lg x$,

где $y = \frac{I}{^{\circ}I_1}$; $x = \frac{c_2}{c_1}$. (2)

Здесь $^{\circ}I_1$ и I глубина анодного зубца элемента, концентрация которого в растворе остается постоянной (Ga), соответственно без добавки второго элемента в электролизер и с добавками, c_2 — концентрация ионов металла в растворе, концентрация которых меняется (Au , Co , Ni) в процессе опыта.

Значения $^{\circ}I_1$, I и $\frac{c_2}{c_1}$ определяются из опыта. При $\lg y_m = 0$ нахо-

дятся из графика значения $\lg x_m''$ и $\lg x_m'$ и по уравнению (1) определяется n .

Экспериментальная часть¹⁾

Исследования проводились на полярографе типа 7-77-4Б с электролизером, конструкция которого описана в работе [6]. В качестве фона использовался ацетатный буфер ($\text{pH } 4,6$). Анодный зубец галлия на этом фоне идет при потенциале — 0,75 в (нас. к. э.). Содержание примесей тяжелых металлов в этих растворах было меньше $1 \cdot 10^{-8}$ г-ион/л. Проводились две серии опытов: в первой серии — концентрация галлия составляла $1 \cdot 10^{-4}$ г-ион/л, во второй серии $1,6 \cdot 10^{-4}$ г-ион/л и $2 \cdot 10^{-4}$ г-ион/л. Растворы золота, кобальта и никеля добавлялись в электролизер во время исследования до полного исчезновения зубцов галлия. Для получения воспроизводимых результатов режим перемешивания во всех опытах поддерживался постоянным. Время электролиза составляло 300 сек. Потенциал электролиза при накоплении галлия с золотом, кобальтом и никелем составлял — 1,4 в (нас. к. э.). При этих потенциалах для всех указанных

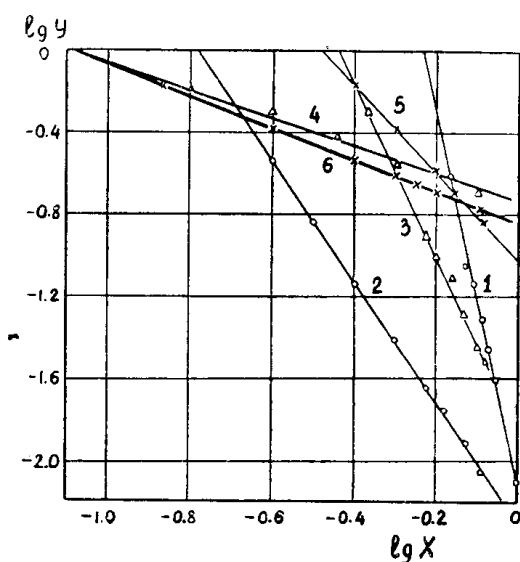


Рис. 1. График зависимости $\lg y - \lg x$
 $C^2G_1 - aAu_n C_{\text{Ga}} \cdot 10^{+4}$ г-ион/л (1) —
— 1,0; (2) — 2,0; (3,4) — $GaCo_n$
 $Ga \cdot 10^{+4}$ г-ион/л (3) — 1, 0; (4) — 2,0
5,6) — $GaNi_n C_{\text{Ga}} \cdot 10^{+4}$ г-ион/л (5) —
— 1, 0; (6) — 1,6

элементов достигается диффузионный ток. Объем раствора составлял 5 мл, радиус стационарной ртутной капли $r = 0,04$ см.

После окончания электролиза перекрывался азот и через 1 мин. снималась анодная полярограмма.

Результаты исследований представлены в таблицах 1 и 2, на рис. 1. Каждое измерение повторялось не менее четырех раз [7].

¹⁾ Экспериментальная часть выполнена с участием студентки-дипломантки О. К. Тихоновой.

Таблица 1

Результаты исследований взаимовлияния галлия с золотом, кобальтом и никелем

$\frac{[Au]}{[Ga]}$	Глубина анодного зубца галлия (мка) при концентрации галлия (г-ион/л)		$\frac{[Co]}{[Ga]}$	Глубина анодного зубца галлия (мка) при концентрации галлия г-ион/л		$\frac{[Ni]}{[Ga]}$	Глубина анодного зубца галлия (мка) при концентрации галлия (г-ион/л)	
	$1 \cdot 10^{-4}$	$2 \cdot 10^{-4}$		$1 \cdot 10^{-4}$	$2 \cdot 10^{-4}$		$1 \cdot 10^{-4}$	$1,6 \cdot 10^{-4}$
0	8	16,3	0	12,6	29,2	0	12,3	15,3
0,1	6	12	0,1	12,3	25,2	0,1 0,125	8,1	10,7
0,2	4,9	7,2	0,2	9,3	—	0,2 0,25	6,3	7,8
0,3	3,8	4,7	0,3	9,6	20,7	0,3	4,5	—
0,4	2,8	3	0,4	9	19	0,37 0,4	— 4	6
0,5	1,8	1,8	0,5	7,5	14,8	0,5	2,2	4,4
0,6	1,5	0,9	0,6 0,65	5,7 4,8	11,8 10	0,6 0,625	1,7	— 3,2
0,625	1,2	0,7	0,7	4,3	9	0,65	1,4	—
0,7	1	0,5	0,75	3,5	7,2	0,7	1,1	—
0,75	0,8	0,4	0,8	2,4	6	0,75	0,9	2,2
0,8	0,6	0,3	0,85	2,2	4,5	0,8 0,85	0,6 0,4	—
0,85	0,45	0,2	0,9	1,5	3	0,87	—	1,4
0,9	0,3	0,1	0,95	0,8	1,5	0,9	0,3	—
0,95	0,1	0,05	1	0	0,5	0,95	0,1	—
1	0	0	1,05	0	0	1	0	0,8
1,05	0	0				1,05	0	0,5
						1,125	0	0,2
						1,25	0	0
						1,3	0	0

Таблица 2

Расчетные данные по определению состава интерметаллических соединений по методу А. Г. Стромберга и В. Е. Городовых [3]

$\lg x_m''$	$\frac{c_1''}{\text{г-ион}}$	$\ln x_m'$	$\frac{c_1'}{\text{г-ион}}$	Состав интерметаллического соединения	n (вычислено по методу А. Г. Стромберга)
-0,79	$2 \cdot 10^{-4}$	-0,24	$1 \cdot 10^{-4}$	GaAu_n	1,19
-1,1	$2 \cdot 10^{-4}$	-0,48	$1 \cdot 10^{-4}$	GaCo_n	1,1
-1,1	$1,6 \cdot 10^{-4}$	-0,44	$1 \cdot 10^{-4}$	GaNi_n	0,9

Обсуждение результатов

Из табл. 1 видно, что при значении соотношений $\frac{[Ni]}{[Ga]} = 1$,

$\frac{[Au]}{[Ga]} = 1$ и $\frac{[Co]}{[Ga]} = 1$ анодные зубцы галлия полностью исчезают. Значения n (табл. 2) для интерметаллических соединений $GaAu_n$, $GaCo_n$ и $GaNi$ соответственно равны 1.

Следовательно, интерметаллическое соединение золота с галлием имеет состав $GaAu$, что находится в согласии с данными [8], такого же состава эти металлы образуют интерметаллическое соединение в сплавах без ртути [4]. Интерметаллические соединения галлия с кобальтом и никелем имеют состав $GaCo$ и $GaNi$ и находятся в соответствии с [9] и в противоречии с работой [5].

Для интерметаллических соединений $GaCo$ и $GaNi$ было вычислено произведение растворимости (Lp). Последнее находилось из уравнения (16) работы [3]

$$\lg Lp = n \lg x_m + (n + 1) \lg c_1^0 - n \lg \kappa', \quad (13)$$

$\lg x_m$ — получается из графика $\lg x - \lg y$; c_1^0 — концентрация атомов галлия в амальгаме при отсутствии кобальта и никеля, c_1^0 вычисляется по уравнению

$$c_1^0 = \frac{i \cdot \tau}{zFv_k},$$

где i — ток накопления галлия в отсутствии кобальта и никеля; τ — время накопления, сек; z — валентность ионов галлия; F — число Фарадея; v_k — объем капли, см³

$$\kappa' = \frac{\kappa_2}{\kappa_1},$$

где κ_2 — константа электролиза для кобальта и никеля в отсутствии галлия, κ_1 — константа электролиза для галлия в отсутствии кобальта и никеля, κ_2 и κ_1 определялись из следующих уравнений:

$$\kappa_1 = \frac{i_1}{zFc_1} \text{ и } \kappa_2 = \frac{i_2}{zFc_2},$$

где i_1 — ток электролиза Ga , Мка; i_2 — ток электролиза Co и Ni , мка.

Произведения растворимости для интерметаллических соединений $GaCo$ и $GaNi$ соответственно равны $2,6 \cdot 10^{-16}$ и $3,90 \cdot 10^{-16}$ г-атом²мл⁻². Для интерметаллического соединения $GaAu$ Lp вычислить нельзя, так как анодного зубца золота, а также катодной волны золота не удалось получить, поскольку потенциал анодного пика более положителен, чем потенциал анодного растворения Hg , а восстановление ионов золота в ацетате начинается прямо от потенциала растворения ртути [10, 11]. Следует отметить, что при изучении взаимовлияния галлия и золота форма анодного зубца меняется. Анодный зубец галлия делается аномальным по внешнему виду: искажаются как электрохимическая, так и диффузионная ветви анодного зубца, зубец уменьшается по высоте, расширяется, делается более тупым, раздваивается, и, наконец, при соотношении концентраций галлия и золота 1 : 1 анодный зубец галлия полностью исчезает и появляется новый анодный зубец при потенциале —0,25 в (нас. к. э.) (рис. 2). На рис. 2 представлены полярограммы, из которых видно влияние золота на анодный зубец галлия. Анодный зубец при потенциале —0,25 в (нас. к. э.), по-видимому, со-

отвечает окислению интерметаллического соединения GaAu. В то же время можно предположить, что во время работы в электролизер и испытуемые растворы попало загрязнение в виде меди и анодный зубец при потенциале —0,25 в (нас. к. э.) соответствует окислению последней. Но, во-первых, медь на испытуемом фоне (ацетатном буфере с pH 4,6) идет при потенциале —0,1 в (нас. к. э.), во-вторых, мы не наблюдали бы анодного зубца меди в присутствии галлия такой концентрации

($1 \cdot 10^{-4}$ г-ион/л), так как Ga и Cu взаимодействуют между собой и дают интерметаллическое соединение GaCu [1]. Следовательно, остается предположить, что анодный зубец слишком —0,25 в (нас. к. э.) соответствует окислению интерметаллического соединения. Нами делались добавки меди в концентрации $1 \cdot 10^{-4}$ г-ион/л в электролизер к испытуемому раствору, содержащему ацетатный буфер с растворами галлия и золота при отношении концентраций последних 1:1, с целью выяснения природы анодного зубца с потенциалом пика —0,25 в (нас. к. э.). Анодный зубец при этом потенциале исчез и на полярограмме не стало никаких пиков (рис. 2, д). Это, по-видимому, можно объяснить тем, что медь вступила в реакцию с молекулами интерметаллического соединения GaAu

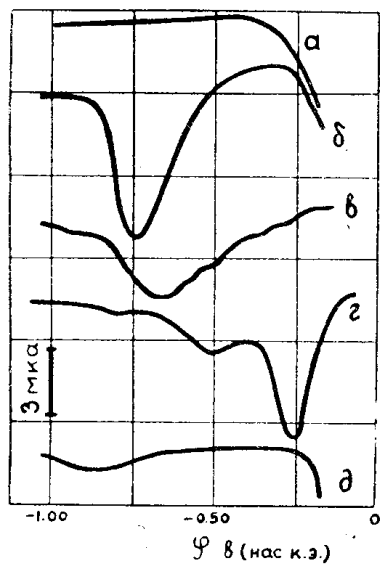
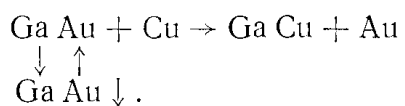


Рис. 2. Полярограмма анодного окисления галлия и золота
а) фон, б) анодный зубец галлия ($1 \cdot 10^{-4}$ г-ион/л), в) Ga с добавкой Au, г) Ga и Au (1:1),
д) Ga и Au (1:1) +
+ Cu ($1 \cdot 10^{-4}$ г-ион/л).

механизм реакции, но на основании экспериментальных данных можно предположить, что константа диссоциации интерметаллического соединения GaCu есть величина меньшая, по сравнению с константой диссоциации GaAu.

В литературе встречаются указания [12, 13], что в жидкой фазе сложных амальгам находятся молекулы интерметаллического соединения. Исходя из этого предположения о существовании в ртути молекул интерметаллического соединения, Тамманн и его сотрудники [13] на основании отклонений потенциалов сложных амальгам от потенциалов соответствующих простых амальгам вычисляли константы диссоциации интерметаллических соединений в ртути. В то же время имеются соединения [14—16], что при растворении интерметаллического соединения в ртути происходит полная диссоциация его на составляющие компоненты. Концентрация в жидкой фазе амальгамы свободных атомов, входящих в состав соединения металлов, определяется не константой диссоциации интерметаллического соединения, а величиной произведения растворимости этого соединения в ртути [17].

Этот вопрос нами подробно будет изучаться в дальнейшем, и здесь мы на нем больше останавливаться не будем. Значения *n* и *Lp* позволяют оценить максимальные значения концентраций ионов в растворе обоих металлов, образующих малорастворимое интерметаллическое



К сожалению, нет никаких цифровых данных по константе диссоциации GaAu и GaCu, чтобы утверждать именно такой

соединение в ртути, при которых произведение растворимости этого соединения (при данных условиях опыта еще не достигается, и, следовательно, при совместном определении обоих металлов в анализе не вносится ошибка).

Максимальные концентрации можно рассчитать по уравнению (17) из работы [3]

$$c_1 c_2 = \frac{Lp}{\gamma_1 \gamma_2^n} = \frac{Lp}{(\kappa')^n (\gamma_1^{n+1})}, \quad (4)$$

где γ_1 и γ_2 — коэффициенты накопления, которые соответственно равны:

$$\gamma_1 = \frac{\kappa_1 \tau}{v_\kappa}, \quad \gamma_2 = \frac{\kappa_2 \tau}{v_\kappa}. \quad (5)$$

Если произведение концентраций меньше константы в первой части уравнения (4), то взаимное влияние металлов при совместном определении методом амальгамной полярографии будет отсутствовать. Из формулы (4) получаем для максимально допустимой концентрации ионов галлия и кобальта в растворе (а), а также галлия и никеля в растворе (б) (при $\tau = 1800$ сек):

- а) $c_1 c_2 = 0,4 \cdot 10^{-24}$ г—ион²/мл²;
- б) $c_1 c_2 = 0,8 \cdot 10^{-24}$ г—ион²/мл².

Таким образом, при равных концентрациях ионов галлия и кобальта, а также галлия и никеля в растворе ($c_1 = c_2$) и данных условиях проведения опыта ($\gamma_{Ga} = 2,66 \cdot 10^{-3}$) максимально допустимая концентрация этих ионов в растворе, при которой еще не образуется интерметаллическое соединение между галлием и кобальтом в ртути (а), а также между галлием и никелем в ртути (б) (не достигается величина произведения растворимости), соответственно равна:

$$\begin{aligned} \text{а)} & c_1 = c_2 \quad \sqrt{0,4 \cdot 10^{-24}} = 0,638 \cdot 10^{-12} \text{ г—ион/мл;} \\ & c_2 = 10 c_1; \quad c_1 = 0,2 \cdot 10^{-12} \text{ г—ион/мл;} \\ & c_2 = 100 c_1; \quad c_1 = 0,638 \cdot 10^{-13} \text{ г—ион/мл;} \\ \text{б)} & c_1 = c_2 \quad \sqrt{0,8 \cdot 10^{-24}} = 0,9 \cdot 10^{-12} \text{ г—ион/мл;} \\ & c_2 = 10 c_1; \quad c_1 = 0,30 \cdot 10^{-12} \text{ г—ион/мл;} \\ & c_2 = 100 c_1; \quad c_1 = 0,9 \cdot 10^{-13} \text{ г—ион/мл.} \end{aligned}$$

Если произведение $c_1 c_2$ превышает допустимое предельное значение $Lp/\gamma^{n+1}(\kappa')^n$ в данных условиях проведения анализа, то нужно уменьшить величину γ , то есть уменьшить τ и κ_1 , и увеличить v_κ (см. формулу 5).

Выводы

1. Методом амальгамной полярографии с накоплением определен состав интерметаллических соединений галлия с золотом, кобальтом и никелем в ртути.
2. Вычислены произведения растворимости интерметаллических соединений галлия с кобальтом и никелем в ртути.

ЛИТЕРАТУРА

1. О. С. Степанова, М. С. Захаров, Л. Ф. Трушина, В. И. Апарин и а. Известия ВУЗ СССР, серия «Химия и хим. технология», № 2, стр. 184, 1964.
 2. W. Kemula, Z. Galus. Physical chem. 7, 553 (1959).
 3. А. Г. Стромберг, В. Е. Городовых, Ж. неорг. химии, т. 8, вып. 10, 2355 (1963).
 4. М. Хансен, К. Андерко. Структуры двойных сплавов. Т. 1. Металлургиздат, 225 и 797 (1962).
 5. В. И. Лысенко. Сб. трудов, № 7 «Металлургия цветных металлов и методы их анализа», ГНТИГУМ, М., 303 (1962).
 6. А. Г. Стромберг, М. С. Захаров, Л. Ф. Заичко. Завод лаборат. 27, 517 (1961).
 7. Л. Батуриер, М. Позин. Математические методы в химической технике. Госхимиздат, 460 (1960).
 8. Справочник химика, т. 1, ГИТИХЛ, Л.—М., 412 (1962).
 9. Справочник химика, т. 1, ГИТИХЛ, Л.—М., 445 (1962).
 10. M. Kolthoff, L. Lingane. Polarography, L., т. 2, 501 (1952).
 11. Т. А. Крюкова, С. И. Синякова, Т. В. Арефьева. Полярографический анализ. М., 675 (1959).
 12. W. Kemula, Z. Galus, Z. Kublik. Nature. 182, 1228 (1958).
 13. G. Tammann, W. Iander, Z. anorg. chem. 124, 105 (1922).
 14. А. И. Зебрева. Материалы второго совещания по полярографии. Казань, 52 (1962).
 15. А. И. Зебрева, М. Т. Козловский. Материалы II-го совещания по полярографии. Казань, 53 (1962).
 16. А. И. Зебрева. Труды института хим. наук, АН Каз, ССР, т. 9, 53 (1962).
 17. А. И. Зебрева. ЖФХ, 35, 948, (1961).
-